

© 1990

## ПОЛЯРИЗАЦИОННЫЕ И ДЕФОРМАЦИОННЫЕ ОСОБЕННОСТИ КРАЯ ФУНДАМЕНТАЛЬНОГО ПОГЛОЩЕНИЯ GeS

*Д. А. Гусейнова, Д. О. Гамзаев, А. М. Кулибеков, Р. А. Сулейманов*

Исследованы поляризационные и деформационные особенности оптических переходов вблизи края фундаментального поглощения кристаллов GeS. В специально выбранной геометрии, соответствующей распространению необыкновенного луча, в спектрах поглощения кристаллов толщиной  $\sim 2$  мм наблюдается линия, которая может быть обусловлена возбуждением «смешанной экситонной моды». Экспериментами по одноосной деформации установлено, что в этих кристаллах меж- и внутрислойевые деформационные потенциалы имеют одинаковые знаки.

### 1. Зонная структура и оптические переходы вблизи края фундаментального поглощения (КФП) кристаллов группы $A^{IV}B^{VI}$

Полупроводники группы  $A^{IV}B^{VI}$  GeS, GeSe, SnSe, SnS имеют слоистую кристаллическую структуру, аналогичную структуре слоистых полупроводников группы  $A^{III}B^{VI}$ . Каждый слой состоит из четырех атомных подслоев, внутри которых атомы связаны ковалентной связью. Взаимодействие между собой относительно более слабой связью, слои образуют трехмерную кристаллическую структуру, где ось с перпендикулярна слоям, в слое  $a \perp b$ .

Согласно расчетам зонной структуры кристаллов  $A^{IV}B^{VI}$ , природа электронных состояний этих полупроводников в своей основе весьма аналогична природе состояний в кристаллах группы  $A^{III}B^{VI}$ . Расположение электронных состояний, так же как и в кристаллах группы  $A^{III}B^{VI}$ , «парное» — учет взаимодействия между слоями приводит к расщеплению состояний на «давыдовские» пары [1, 2]. Весьма характерно и поведение ширин запрещенных зон кристаллов типа GeS с давлением: при гидростатическом сжатии  $E$ , в этих кристаллах уменьшается [3]. Так же как и в случае полупроводников группы  $A^{III}B^{VI}$ , уменьшение  $E$ , с давлением интерпретируется как результат роста расщепления потолка валентной зоны и дна зоны проводимости слоистого кристалла при сближении слоев (рис. 1).

Вместе с тем имеется ряд отличий в кристаллической и зонной структурах полупроводников группы  $A^{IV}B^{VI}$ , с одной стороны, и  $A^{II}B^{VI}$  — с другой. Прежде всего, согласно имеющимся данным, слои в кристаллах типа GaSe «оканчиваются» подслоями аниона. Этим определяется, в частности, «трехмерный» характер основных полупроводниковых свойств кристаллов типа GaSe, поскольку именно анионы дают основной вклад при формировании потолка валентной зоны и дна зоны проводимости. В кристаллах типа  $A^{IV}B^{VI}$  кратчайшее расстояние между слоями не определяется расстояниями анион—анион, поскольку расстояния между катионами и анионами из соседних слоев такого же порядка. Остается неясным, к каким различиям в природе электронных состояний кристаллов группы  $A^{IV}B^{VI}$  и  $A^{III}B^{VI}$  это может привести.

В настоящее время существует большое количество экспериментальных исследований оптических свойств полупроводников группы  $A^{IV}B^{VI}$  вблизи КФП.

В GeS КФП в поляризации падающего света  $E \parallel a$  определяется прямыми разрешенными переходами в экситонное состояние (рис. 2). Коэффициент поглощения света для таких переходов  $\geq 10^4 \text{ см}^{-1}$ , поэтому экситонный пик поглощения в GeS удается зарегистрировать лишь на достаточно тонких образцах  $d \sim 1\text{--}2 \text{ мкм}$ .

Природа оптических переходов в поляризации  $E \parallel b$  не совсем ясна. КФП для указанной поляризации имеет своеобразную спектральную зависимость [4] и по существующим воззрениям обусловлен прямыми запрещенными переходами. Относительно оптических переходов в поляризации  $E \parallel c$  существует мнение, что они также являются прямыми разрешенными и соответствующая кривая поглощения совпадает с кривой, полученной для поляризации  $E \parallel a$ .

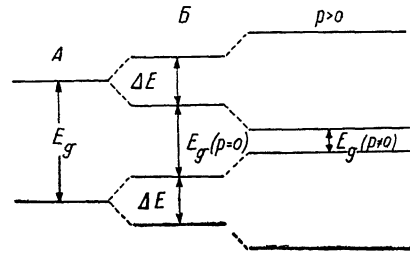


Рис. 1. Схема сдвига зон в слоистом кристалле под давлением.

$A$  — изолированный слой,  $B$  — элементарная ячейка,  $\Delta E$  — межслоевое расщепление.

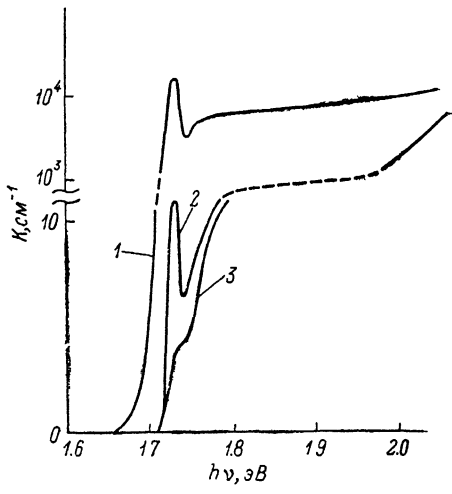


Рис. 2. Спектральная зависимость коэффициента поглощения кристалла GeS при 4.2 К в поляризации  $E \parallel a$  (1) и  $E \perp a$  (2, 3) в зависимости от угла  $\alpha$  между осью с кристалла и направлением распространения луча (2 —  $\alpha \approx 15^\circ$ , 3 —  $\alpha \approx 0$ ).

## 2. Поляризационные особенности оптических переходов в GeS

На рис. 2 (кривые 2, 3) приведены спектры поглощения, зарегистрированные на толстых ( $\sim 2 \text{ мм}$ ) образцах GeS. Отличительной особенностью кривых поглощения, полученных в геометрии  $E \parallel b$ , является наличие пика поглощения, энергетическое положение которого совпадает с положением экситонного пика поглощения, соответствующего прямым разрешенным переходам (рис. 2, кривая 1).

Как отмечалось, указанный пик обычно регистрируется лишь на тонких ( $1\text{--}2 \text{ мкм}$ ) образцах GeS в поляризации  $E \parallel a$ . Другой особенностью спектров поглощения в геометрии  $E \parallel b$  является малая величина ( $20\text{--}30 \text{ см}^{-1}$ ) коэффициента поглощения в максимуме пика поглощения. Исследованиями температурных зависимостей спектров поглощения, полученных на толстом образце, удалось установить, что поведение энергетического положения пика поглощения в поляризации  $E \parallel b$  полностью совпадает с поведением экситонного пика поглощения в геометрии  $E \parallel a$  (рис. 3). Специальными измерениями было показано, что пик поглощения в геометрии  $E \parallel b$  появляется в спектре лишь при не строго перпендикулярном падении луча света на поверхность кристаллов, когда в кристалле распространяется свет с компонентой электрического вектора, параллельной оси  $c$ . Появление компоненты  $E \parallel a$  не приводит к возникновению указанного пика поглощения. Таким образом, можно утверждать, что в спектрах поглощения толстых образцов GeS, полученных в геометрии  $E \parallel b$ , экситонный пик поглощения проявляется в том случае, когда имеется компонента  $E_c$  падающей световой волны. Полученный результат можно объяс-

нить, учитывая, что коэффициент поглощения в геометрии  $E \parallel c$  существенно превышает коэффициент поглощения в геометрии  $E \parallel b$ . При малых величинах компоненты  $E_c$  (малые углы между осью  $c$  и направлением распространения луча света) итоговый коэффициент поглощения будет близок к коэффициенту поглощения, характерному для переходов в геометрии  $E \parallel b$ .

Чтобы объяснить, почему аналогичный эффект возникновения экситонного пика поглощения на толстых образцах не наблюдается при наличии малой компоненты электрического вектора света, параллельной оси  $a$ , можно предположить, что кривые поглощения в GeS для света  $E \parallel a$  и  $E \parallel c$  формируются в результате, вообще говоря, различных оптических переходов.

Для получения прямых экспериментальных доказательств сказанного выше необходимы исследования поляризационных особенностей КФП GeS при изменении вектора поляризации падающего света от направления  $E \parallel c$  к направлению  $E \parallel b$  (при этом  $E \perp a$ ). Такие измерения затруднены, поскольку для их проведения необходимо располагать тонкими (несколько мкм) образцами GeS, имеющими высококачественные грани, перпендикулярные слоям.

С другой стороны, обращает на себя внимание тот факт, что условия реги-

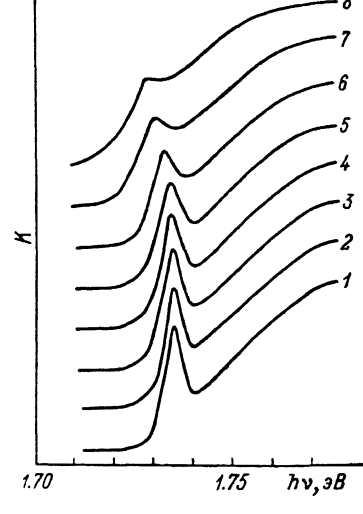


Рис. 3. Температурная зависимость экситонного пика поглощения в геометрии рис. 2 ( $\alpha \approx 15^\circ$ ). Т, К: 5 (1), 10 (2), 20 (3), 30 (4), 40 (5), 50 (6), 65 (7), 75 (8).

страции экситонного пика на толстых образцах GeS совпадают с условиями наблюдения «смешанной экситонной моды» в ZnO и CdS [5, 6] при распространении света в поляризации «необыкновенного луча». Для получения прямых доказательств справедливости предложенного механизма требуются детальные исследования энергетического спектра свето-экситонов в GeS.

### 3. Влияние одноосного давления на КФП GeS

На сегодняшний день имеется большое количество экспериментальных исследований влияния всестороннего давления на зонную структуру слоистых кристаллов. В большинстве случаев приложение гидростатического давления приводит к уменьшению ширин запрещенных зон слоистых кристаллов [7]. Объяснение отрицательности знака барического коэффициента в слоистых кристаллах было дано выше. Исследованиями влияния одноосного давления на КФП слоистых кристаллов GaSe, GaS и InSe [8, 9], проведенными при разных температурах, было показано, что при интерпретации результатов исследований влияния давления на КФП слоистых кристаллов нельзя ограничиваться учетом изменения одних лишь межслоевых расстояний — роль деформации слоев может приводить к весьма существенным эффектам в особенности при низких температурах и высоких давлениях. Особенности деформационных явлений в слоистых кристаллах обусловлены тем, что знаки изменений  $E_g$ , обусловленных изменениями межатомных расстояний внутри слоев и между слоями, различны. Итоговое изменение  $E_g$  с давлением может быть положительным или отрицательным в зависимости от величин указанных вкладов. Так, в GaSe одноосное давление, параллельное оси  $c$ , приводит к росту  $E_g$  при низких ( $T < 77$  К) температурах и к ее уменьшению при высоких. Аналогичным образом

гидростатическое сжатие GaSe при давлениях  $p < 5$  кбар ведет к уменьшению  $E_g$ , а при  $p > 5$  кбар к ее росту. При низких температурах ( $T < 77$  К) и высоких давлениях ( $p > 5$  кбар) в слоистых кристаллах типа GaSe энергетические изменения с давлением в зонной структуре обусловливаются изменениями внутрислоевых межатомных расстояний. Описанные выше особенности деформационных эффектов стали возможными благодаря особенности зонной структуры слоистых кристаллов: наличию разных по знаку деформационных потенциалов, описывающих изменение  $E_g$  при изменении меж- и внутрислоевых расстояний внутри элементарной ячейки.

Представляло интерес выяснить, характеризуются ли слоистые полупроводники группы  $A^{IV}B^{VI}$  описанными выше особенностями деформационных явлений.

На рис. 4 приведены спектры поглощения недеформированных и одноосно ( $p \parallel c$ ) деформированных кристаллов GeS при 5 К. Методика деформации подробно описана в работах [8, 9]. Из рис. 4 видно, что край поглощения, соответствующий поляризации падающего света  $E \parallel a$ , смещается

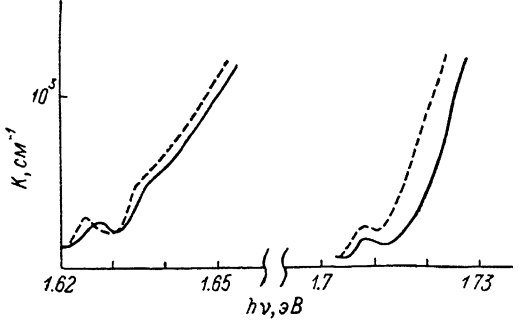


Рис. 4. Деформационная зависимость кривых поглощения в поляризации  $E \parallel a$  при  $T = 5$  (справа) и  $220$  К (слева).

Давление  $p \parallel c$  (штриховая линия),  $p = 0$  (сплошная линия). Видны интерференционные максимумы.

в длинноволновую сторону при  $p \parallel c$ . Относительно поведения КФП в геометрии  $E \parallel b$  сказать что-либо определенное трудно, так как ввиду пологости кривой поглощения, соответствующей этой поляризации, проследить за ее сдвигом при относительно малых ( $p \leq 2$  кбар) давлениях не удается.

Поведение КФП ( $E \parallel a$ ) при давлении  $p \parallel c$  в GeS было исследовано в широкой области температур (5—300 К); во всей исследованной области температур давление  $p \parallel c$  приводило к сдвигу КФП ( $E \parallel a$ ) в длинноволновую сторону (рис. 4). Таким образом, в отличие от кристаллов группы  $A^{III}B^{VI}$  в GeS не наблюдается изменения знака барического коэффициента с температурой. Такое отличие может быть обусловлено двумя причинами. Во-первых, меж- и внутрислоевые деформационные потенциалы в GeS могут обладать одинаковыми знаками. Во-вторых, величины указанных потенциалов (при условии, что их знаки различны) и соответствующие упругие постоянные могут быть такими, что знак изменения  $E_g$  с давлением будет определяться изменением межслоевых расстояний во всем использованном интервале температур и давлений.

Для проверки первого предположения можно воспользоваться результатами расчетов влияния одноосного давления на КФП GeS [10]. Согласно расчетам, уменьшение как меж-, так и внутрислоевых расстояний в GeS будет приводить к сдвигу КФП в поляризации  $E \parallel a$  в длинноволновую сторону, поэтому эффектов смены знака барических коэффициентов в этом кристалле ожидать не приходится.

Таким образом, отличительная особенность деформационных эффектов в слоистых кристаллах  $A^{II}B^{VI}$  в GeS отсутствует — меж- и внутрислоевые деформационные потенциалы в GeS имеют одинаковые знаки.

#### Список литературы

- [1] Гашимзаде Ф. М., Гусейнова Д. А., Мамедов М. М., Оруджев Г. С., Кулибеков А. М. // ДАН АзССР. 1987. Т. 43. № 10. С. 25—29.

- [2] Valiukonis G., Gashimzade F. M., Guseinova D. A., Krivaite G., Kulibekov A. M., Orudzhev G. S., Sileika A. // Phys. St. Sol. (b). 1983. V. 117. P. 81—92.
- [3] Valiukonis G., Guseinova D. A., Krivaite G., Sileika A. // Phys. St. Sol. (b). 1986. V. 135. P. 299.
- [4] Wiley J. D., Breitschwerdt A., Schönherr E. // Sol. St. Comm. 1975. V. 17. P. 355.
- [5] Hopfield J. J., Thomas D. G. // Phys. Chem. Sol. 1960. V. 12. P. 276.
- [6] Гросс Е. Ф., Разбираин Б. С. // ФТТ. 1962. Т. 4. № 1. С. 207.
- [7] Беленъкий Г. Л., Салаев Э. Ю., Сулейманов Р. А. // УФН. 1988. Т. 155. № 1. С. 89—127.
- [8] Беленъкий Г. Л., Салаев Э. Ю., Сулейманов Р. А., Мирзоев Э. И. // ФТТ. 1980. Т. 22. № 10. С. 3153—3154.
- [9] Belen'kii G. L., Salaev E. Yu., Suleimanov R. A., Mirzoev E. I. // Phys. St. Sol. (a). 1981. V. 63. N 1. P. 97—102.
- [10] Гашимзаде Ф. М., Гусейнова Д. А., Оруджев Г. С. // ФТИ. 1987. Т. 24. № 9. С. 1732—1734.

Институт физики АН АзССР  
Баку

Поступило в Редакцию  
13 ноября 1989 г.  
В окончательной редакции  
4 мая 1990 г.

---